

ДЖОУЛЕВЫ ПОТЕРИ В КАНАЛЕ ПЕРЕМЕННОГО СЕЧЕНИЯ,  
ОБУСЛОВЛЕННЫЕ СЖИМАЕМОСТЬЮ ГАЗА

A. B. Ватажин

(Москва)

Известно, что в проводящей среде, движущейся в неоднородном магнитном поле, возникают замкнутые электрические токи, которые вызывают дополнительные энергетические потери и ухудшают характеристики магнитогидродинамических каналов<sup>1</sup>.

Однако образование вихревых электрических токов происходит и при течении среды в однородном магнитном поле, перпендикулярном плоскости движения, если канал имеет переменное поперечное сечение, а среда — сжимаемая [1].

Предлагаемая статья посвящена изучению некоторых особенностей таких движений. При проведении анализа предполагается, что течение газа происходит в каналах со слабоизменяющейся геометрией.

1. Рассмотрим движение проводящего невязкого и нетеплопроводного газа в плоском канале  $|x^{\circ}| < \infty$ ,  $h_1(x^{\circ}) < y < h_* + h_2(x^{\circ})$  ( $h_* = \text{const} > 0$ ) при наличии однородного поперечного магнитного поля  $\mathbf{B} = (0, 0, B_*)$ . Предположим, что индуцированным магнитным полем можно пренебречь, электропроводность  $\sigma$  и параметр Холла для электронов  $\beta$  постоянны, а скольжение ионов не существенно. Будем считать, что верхняя и нижняя стенки канала слабо отклоняются от поверхностей  $y = h_*$  и  $y = 0$ , соответственно, и эти отклонения медленно изменяются вдоль течения. Это условие математически записывается следующим образом:

$$\frac{h_1(x^{\circ})}{h_*} = \varepsilon f^-(x), \quad \frac{h_2(x^{\circ})}{h_*} = \varepsilon f^+(x) \quad \left( x = \frac{x^{\circ}}{h_*} \right) \quad (1.1)$$

Здесь  $\varepsilon = \text{const}$  — малый параметр, характеризующий отклонение геометрии от канала постоянного сечения, а функции  $f^-$ ,  $f^+$  и их производные — порядка единицы. Будем предполагать, что функции  $f^-$  и  $f^+$  равны нулю при  $x = -\infty$  (и ограничены при  $x = \infty$ ).

В дальнейшем будут рассматриваться течения, характеризующиеся однородным распределением газодинамических параметров при  $x = -\infty$ . Если бы сечение канала не изменялось по  $x^{\circ}$  (течение происходило в канале  $0 < y^{\circ} < h_*$ ), то эти однородные распределения параметров сохранялись бы в произвольном сечении. В этом случае в канале происходило бы разделение электрического заряда, и плотность электрического тока  $j$  равнялась нулю.

В том случае, когда сечение канала изменяется по  $x^{\circ}$ , в движущемся газе (параметры которого неоднородны) возникают электрические токи, и на газ начинают действовать электромагнитные силы. При этом, если геометрия канала удовлетворяет условиям (1.1), то отклонения газодинамических параметров от однородных распределений при  $x = -\infty$  и возникающие электрические токи (и силы) оказываются порядка  $\varepsilon$ . Таким образом, уравнения магнитной газовой динамики можно линеаризовать по параметру  $\varepsilon$  около решения для канала постоянного сечения, которое, как указы-

<sup>1</sup> Многочисленные работы, посвященные изучению этих эффектов, указаны в обзорах [2, 3].

валось выше, имеет вид

$$u = 1, \quad v = 0, \quad \rho = 1, \quad p = p_* = \text{const}, \quad \varphi = -y, \quad j_x = 0, \quad j_y = 0 \quad (1.2)$$

Здесь и в дальнейшем величины осевой и поперечной скоростей  $u$  и  $v$  отнесены к характерной скорости  $U$ , компоненты  $j_x$  и  $j_y$  — к  $\sigma UB_*/c$  ( $c$  — скорость света в вакууме), электрический потенциал — к  $UB_* h_*/c$ , плотность  $\rho$  и давление  $p$  — к  $\rho_*$  и  $\rho_* U^2$  ( $\rho_*$  — характерная плотность), координаты  $x$  и  $y$  — к высоте  $h_*$ .

Решение задачи можно искать в виде следующих рядов по степеням  $\varepsilon$ :

$$\begin{aligned} u &= 1 + \varepsilon u_1(x, y) + \dots, & v &= \varepsilon v_1(x, y) + \dots \\ \rho &= 1 + \varepsilon \rho_1(x, y) + \dots, & p &= p_* + \varepsilon p_1(x, y) + \dots \\ \varphi &= -y + \varepsilon \varphi_1(x, y) + \dots, & \mathbf{j} &= \varepsilon \mathbf{j}_1(x, y) + \dots \end{aligned} \quad (1.3)$$

Подставляя (1.3) в систему уравнений магнитной газовой динамики и используя сделанные предположения для величин первого приближения, находим следующую систему уравнений:

$$\begin{aligned} \frac{\partial u_1}{\partial x} + \frac{\partial p_1}{\partial x} &= s j_{y1}, & \frac{\partial v_1}{\partial x} + \frac{\partial p_1}{\partial y} &= -s j_{x1} \\ \frac{\partial \rho_1}{\partial x} + \frac{\partial u_1}{\partial x} + \frac{\partial v_1}{\partial y} &= 0, & \frac{\partial p_1}{\partial x} - \frac{1}{M^2} \frac{\partial \rho_1}{\partial x} &= 0 \\ \left( s = \frac{\sigma B_*^2 h_*}{c^2 \rho_* U}, \quad M = (\gamma p_*)^{-1/2} \right) \end{aligned} \quad (1.4)$$

$$\begin{aligned} j_{x1} &= \frac{1}{1 + \beta^2} \left[ -\frac{\partial \varphi_1}{\partial x} + v_1 + \beta \left( u_1 + \frac{\partial \varphi_1}{\partial y} \right) \right] \\ j_{y1} &= \frac{1}{1 + \beta^2} \left[ -\frac{\partial \varphi_1}{\partial y} - u_1 - \beta \left( \frac{\partial \varphi_1}{\partial x} - v_1 \right) \right] \\ \frac{\partial j_{x1}}{\partial x} + \frac{\partial j_{y1}}{\partial y} &= 0 \end{aligned} \quad (1.5)$$

В системе (1.4) первые два соотношения будут проекциями уравнения импульсов на оси  $x$  и  $y$ , третье выражение — уравнение неразрывности, а четвертое — уравнение энергии, согласно которому энтропия газа в первом приближении остается постоянной. Это следует из того, что джоулева диссирипация оказывается величиной порядка  $\varepsilon^2$ .

Безразмерные величины  $s$  и  $M$  представляют собой параметр магнитогазодинамического взаимодействия и число Маха.

Соотношения в системе (1.5) следуют из закона Ома и уравнения неразрывности для электрического тока.

Из двух первых уравнений (1.3) и последнего соотношения в (1.5) вытекает, что

$$\frac{\partial \omega}{\partial x} = 0 \quad \left( \omega = \frac{\partial v_1}{\partial x} - \frac{\partial u_1}{\partial y} \right) \quad (1.6)$$

Здесь  $\omega$  — вихрь скорости.

Так как  $\omega = 0$  при  $x = -\infty$ , то, согласно (1.6), течение в канале будет безвихревым и можно ввести потенциал скоростей

$$u_1 = \frac{\partial \Phi}{\partial x}, \quad v = -\frac{\partial \Phi}{\partial y} \quad (1.7)$$

После несложных преобразований для функций  $\Phi$  и  $\varphi$  из (1.4) — (1.5) получаем уравнения

$$(1 - M^2) \frac{\partial^2 \Phi}{\partial x^2} + \frac{\partial^2 \Phi}{\partial y^2} = \frac{s M^2}{1 + \beta^2} \left[ \frac{\partial \varphi_1}{\partial y} + \frac{\partial \Phi}{\partial x} + \beta \left( \frac{\partial \varphi_1}{\partial x} - \frac{\partial \Phi}{\partial y} \right) \right] \quad (1.8)$$

$$\Delta \varphi_1 = \beta \Delta \Phi \quad (1.9)$$

Будем считать, что стенки канала — идеальные изоляторы и непроницаемы для газа. После линеаризации граничные условия на стенках записываются следующим образом:

$$\frac{\partial \Phi_1}{\partial y} + \frac{\partial \Phi}{\partial x} + \beta \left( \frac{\partial \Phi_1}{\partial x} - \frac{\partial \Phi}{\partial y} \right) = 0 \quad \text{при } y=0 \text{ и } y=1 \quad (1.10)$$

$$\frac{\partial \Phi}{\partial y} = f^{+1}(x) \quad \text{при } y=1 \quad (1.11)$$

$$\frac{\partial \Phi}{\partial y} = f^{-1}(x) \quad \text{при } y=0 \quad (1.12)$$

Уравнение (1.8) — эллиптического типа при  $M < 1$  и гиперболического — при  $M > 1$ . При  $M \approx 1$  линейная теория, как известно [4] оказывается неприменимой.

В случае несжимаемой жидкости ( $M = 0$ ) функция  $\Phi$  — гармоническая, которая находится независимо (при помощи граничных условий (1.11) и (1.12)) от соотношений с электромагнитными членами. Электрический потенциал  $\Phi_1$  также удовлетворяет уравнению Лапласа, причем, как нетрудно заметить, функции  $\Phi_1$  и  $\Phi$  будут действительной и мнимой частями аналитической функции (при этом удовлетворяется граничное условие (1.10)), т. е.

$$\frac{\partial \Phi_1}{\partial x} = \frac{\partial \Phi}{\partial y}, \quad \frac{\partial \Phi_1}{\partial y} = -\frac{\partial \Phi}{\partial x} \quad (1.13)$$

Подставляя (1.13) в систему (1.5), находим, что  $j_{x_1} \equiv 0$ ,  $j_{y_1} \equiv 0$ , т. е. при  $M = 0$  изменение формы поперечного сечения не вызывает появления электрических токов. Это объясняется тем, что при  $\mathbf{B} = \text{const}$  индуцируемая разность потенциалов в канале с непроводящими стенками зависит только от объемного расхода газа, который при  $M = 0$  не изменяется по длине канала. Поэтому сделанный вывод должен оставаться справедливым при произвольном (не только медленном) изменении формы канала и произвольном (не обязательно безвихревом) течении на выходе.

Для того чтобы доказать это утверждение, заметим, что в случае несжимаемой жидкости компоненты  $j_x$  и  $j_y$  можно записать в виде [5,2]

$$j_x = \frac{1}{1+\beta^2} \left( -\frac{\partial \Omega}{\partial x} + \beta \frac{\partial \Omega}{\partial y} \right), \quad j_y = \frac{1}{1+\beta^2} \left( -\frac{\partial \Omega}{\partial y} - \beta \frac{\partial \Omega}{\partial x} \right), \quad \Delta \Omega = 0 \quad (1.14)$$

$(\Omega = \varphi + \psi)$

Здесь  $\psi$  — функция тока жидкости. На стенках канала (которые по предположению, непроводящие) выполняется условие  $\partial \Omega / \partial n = -\beta \partial \Omega / \partial \tau$  ( $\tau$  и  $n$  — единичные векторы касательной и нормали к стенке). Сформулированная кривая задача имеет решение<sup>1</sup>  $\Omega = \text{const}$ ; отсюда следует, что  $\mathbf{j} \equiv 0$ .

Если же среда будет сжимаемой, то при изменении формы сечения объемный расход  $G$  не остается постоянным. При  $M < 1$  величина  $G$  уменьшается или увеличивается в зависимости от того, возрастает или убывает площадь поперечного сечения  $F$  по длине канала<sup>2</sup>. Если же поток сверхзвуковой, то наоборот,  $dG / dx > 0$  при  $dF / dx > 0$  и  $dG / dx < 0$  при

<sup>1</sup> Заметим, что если часть стенок канала представляет собой электроды, то решение  $\Omega = \text{const}$  в общем случае не удовлетворяет физическому содержанию задачи. Решение для  $j_x$  и  $j_y$  необходимо строить в классе функций, не ограниченных вблизи точек контакта электродов и изоляторов, в которых изменяется вид граничных условий.

<sup>2</sup> Указанное изменение  $G$  имеет место при несильном магнитогидродинамическом взаимодействии.

$dF / dx < 0$ . Поэтому индуцируемая разность потенциалов между нижней и верхней стенками канала изменяется по  $x$ , в результате чего возникают вихревые электрические токи.

Система уравнений (1.8) — (1.12), из которой определяются газодинамические и электромагнитные параметры в первом приближении, может быть решена с помощью преобразования Фурье.

2. Рассмотрим течение при слабом магнитогидродинамическом взаимодействии, когда  $s \ll 1$ . В этом случае распределение потенциала находится из известного уравнения линейной газовой динамики

$$(1 - M^2) \frac{\partial^2 \Phi}{\partial x^2} + \frac{\partial^2 \Phi}{\partial y^2} = 0 \quad (2.1)$$

Предположим, что нижняя стенка канала определяется уравнением  $y = 0$ , т. е.  $f^- \equiv 0$ .

В начале исследуем дозвуковые течения ( $\delta^2 = 1 - M^2 > 0$ ).

Согласно асимптотическому условию при  $x = -\infty$  и предположению об ограниченности функции  $f^+(x)$  при  $x = \infty$  имеем

$$\begin{aligned} |\Phi(x, y)| &< \text{const} \exp(\tau_+ x), \quad |\varphi_1(x, y)| < \text{const} \exp(\tau_+ x) \quad \text{при } x \rightarrow -\infty \\ |\Phi(x, y)| &< \text{const} \exp(\tau_- x), \quad |d_1(x, y)| < \text{const} \exp(\tau_- x) \quad \text{при } x \rightarrow \infty \\ 0 &< \tau_- < \tau_+ \end{aligned} \quad (2.2)$$

Соотношения (2.2) отражают тот факт, что функции  $\Phi$  и  $\varphi_1$  экспоненциально стремятся к нулю при  $x \rightarrow -\infty$  и значительно медленнее возрастают при  $x \rightarrow \infty$ . Более точно, при  $x \rightarrow \infty$  величина  $\varphi_1$  оказывается всегда ограниченной, а потенциал  $\Phi$  линейно изменяется по  $x$ , если  $f^+(x) \rightarrow \text{const} \neq 0$  при  $x \rightarrow \infty$ , и ограничен, если функция  $f^+(x)$  при больших  $x$  колеблется около некоторого постоянного значения.

Для решения системы (2.1), (1.9) — (1.12) используем преобразование Фурье

$$\xi^\circ(y, \alpha) = \frac{1}{\sqrt{2\pi}} \int_{-\infty}^{+\infty} \xi(x, y) \exp(i\alpha x) dx \quad (\alpha = v + i\tau, \tau_- < \tau < \tau_+) \quad (2.3)$$

Под функцией  $\xi$  здесь понимаются функции  $\Phi(x, y)$ ,  $\varphi_1(x, y)$  и  $f^{+\prime}(x)$ . Согласно (2.2),  $\xi^\circ$  будет аналитической функцией аргумента  $\alpha$  в полосе  $\tau_- < \tau < \tau_+$  [6].

Система уравнений относительно изображений искомых функций имеет вид

$$\begin{aligned} -\delta^2 \alpha^2 \Phi^\circ + \frac{d^2 \Phi^\circ}{dy^2} &= 0, \quad -\alpha^2 \varphi_1^\circ + \frac{d^2 \varphi_1^\circ}{dy^2} = \beta \left( -\alpha^2 \Phi^\circ + \frac{d^2 \Phi^\circ}{dy^2} \right) \\ \Phi''(0, \alpha) &= 0, \quad \Phi''(1, \alpha) = t(\alpha) = \frac{1}{\sqrt{2\pi}} \int_{-\infty}^{+\infty} (df^+/dx) \exp(i\alpha x) dx \\ \varphi_1'' - i\alpha \Phi^\circ - \beta(i\alpha \varphi_1^\circ + \Phi'') &= 0 \quad \text{при } y = 0 \text{ и } y = 1 \end{aligned} \quad (2.4)$$

Здесь штрих означает производную по  $y$ .

Решение системы (2.4) представляется формулами

$$\begin{aligned} \Phi^\circ &= \frac{t(\alpha) \operatorname{ch}(\alpha \delta y)}{\alpha \delta \operatorname{sh}(\alpha \delta)}, \quad \varphi_1^\circ = \frac{i t(\alpha)}{\alpha \delta \operatorname{sh}(\alpha \delta) \operatorname{sh} \alpha} \{ \operatorname{ch}(\alpha \delta) \operatorname{ch}(\alpha y) - \operatorname{ch}[\alpha(1-y)] + \\ &+ i\beta [\operatorname{sh}[\alpha(1-y)] + \operatorname{ch}(\alpha \delta) \operatorname{sh}(\alpha y) - \operatorname{ch}(\alpha \delta y) \operatorname{sh} \alpha] \} \end{aligned} \quad (2.5)$$

Оригиналы  $\Phi(x, y)$  и  $\varphi_1(x, y)$  находятся с помощью теоремы обращения [6]

$$\Phi = \frac{1}{\sqrt{2\pi}} \int_{-\infty+i\tau^*}^{\infty+i\tau^*} \Phi^\circ \exp(-i\alpha x) d\alpha, \quad \varphi_1 = \frac{1}{\sqrt{2\pi}} \int_{-\infty-i\tau^*}^{\infty+i\tau^*} \varphi_1^\circ \exp(-i\alpha x) d\alpha \quad (2.6)$$

$(0 < \tau_- < \tau^* < \tau_t)$

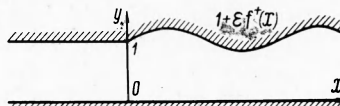
Интегралы (2.6) после конкретизации функции  $t(\alpha)$  могут быть вычислены с помощью теории вычетов.

Пусть функция  $f^+(x)$  имеет следующий вид (фиг. 1):

$$f^+(x) = \begin{cases} 0 & \text{при } x < 0 \\ \sin kx & \text{при } x > 0 \end{cases} \quad (2.7)$$

Величина  $t(\alpha)$  определяется в этом случае формулой

$$t(\alpha) = -\frac{i\alpha k}{\sqrt{2\pi(k^2 - \alpha^2)}} \quad (2.8)$$



Фиг. 1

Подставляя (2.8) в выражения (2.6) и используя теорему о вычетах и лемму Жордана [7], найдем, что для вычисления интегралов (2.6) при  $x > 0$  необходимо просуммировать вычеты подынтегральных функций в области  $\tau < \tau^*$ , а при  $x < 0$  просуммировать вычеты в области  $\tau > \tau^*$ .

В результате вычислений находим

$$\Phi = \Phi^*(x, y) + \frac{k}{\delta^2} \sum_{n=1}^{\infty} (-1)^{n+1} \frac{\cos(n\pi y) \exp(-n\pi x/\delta)}{k^2 + (n\pi/\delta)^2} \quad (2.9)$$

$$\varphi_1 = \varphi^*(x, y) + \frac{k}{\delta^2} \Sigma_1 + \frac{k}{\delta} \Sigma_2 \quad \Phi^*(x, y) = \frac{\cos(kx) \operatorname{ch}(k\delta y)}{\delta \operatorname{sh} k\delta} - \frac{1}{k\delta^2}$$

$$\Phi^*(x, y) = \frac{1}{\delta \operatorname{sh} k \operatorname{sh} k\delta} \{ \sin kx [\operatorname{ch}(k\delta) \operatorname{ch}(ky)] - \operatorname{ch}[k(1-y)] - \beta \cos kx [\operatorname{sh}[k(1-y)] + \operatorname{ch}(k\delta) \operatorname{sh}(k\delta y) \operatorname{sh} k] \} \quad (2.10)$$

$$\Sigma_1 = \sum_{n=1}^{\infty} (-1)^n \frac{\exp(-r_n x [\chi_n(y) + \beta \varkappa_n(y)])}{(k^2 + r_n^2) \sin r_n}, \quad r_n = \frac{n\pi}{\delta}$$

$$\chi_n = (-1)^n \cos(r_n y) - \cos[r_n(1-y)]$$

$$\varkappa_n = \sin[r_n(1-y)] + (-1)^n \sin(r_n y) - \cos(r_n \delta y) \sin r_n \quad (2.11)$$

$$\Sigma_2 = \sum_{n=1}^{\infty} (-1)^n \frac{\exp(-q_n x [\mu_n(y) + \beta v_n(y)])}{(k^2 + q_n^2) \sin(q_n \delta)}, \quad q_n = n\pi$$

$$\mu_n = \cos(q_n \delta) \cos(q_n y) - \cos[q_n(1-y)]$$

$$v_n = \sin[q_n(1-y)] + \cos(q_n \delta) \sin(q_n y)$$

$$\Phi_{x<0} = \frac{k}{\delta^2} \sum_{n=1}^{\infty} (-1)^n \frac{\cos(r_n \delta y) \exp(r_n x)}{k^2 + r_n^2} \quad (2.12)$$

$$\varphi_1 = \frac{k}{\delta^2} \sum_{n=1}^{\infty} \frac{(-1)^n \exp(r_n x) [\chi_n(y) - \beta \varkappa_n(y)]}{(k^2 + r_n^2) \sin r_n} + \frac{k}{\delta} \sum_{n=1}^{\infty} \frac{(-1)^n \exp(q_n x) [\mu_n(y) - \beta v_n(y)]}{(k^2 + q_n^2) \sin q_n \delta}$$

Функции  $\Phi^*(x, y)$  и  $\varphi^*(x, y)$  определенные формулами (2.10), представляют собой периодическую незатухающую часть решения при больших  $x$ , связанную с синусоидальным изменением профиля канала. Соответствующие этой части решения токи  $j_x^*$  и  $j_y^*$  даются формулами

$$j_x^* = \frac{k \cos kx}{\delta \operatorname{sh}(k\delta) \operatorname{sh} k} [\delta \operatorname{sh}(k\delta y) \operatorname{sh} k - \operatorname{ch}(k\delta) \operatorname{ch}(ky) + \operatorname{ch}[k(1-y)]] \quad (2.13)$$

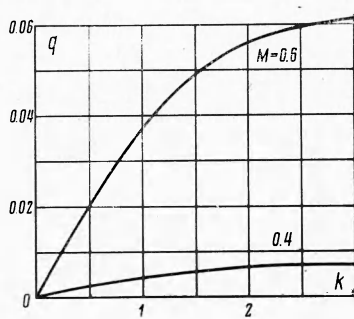
$$j_y^* = \frac{k \sin kx}{\delta \operatorname{sh}(k\delta) \operatorname{sh} k} [\operatorname{ch}(k\delta y) \operatorname{sh} k - \operatorname{ch}(k\delta) \operatorname{sh}(ky) - \operatorname{sh}[k(1-y)]]$$

Как следует из (2.13), распределение токов  $j_x^*$  и  $j_y^*$  (в отличие от потенциала) не зависит от параметра Холла  $\beta$ .

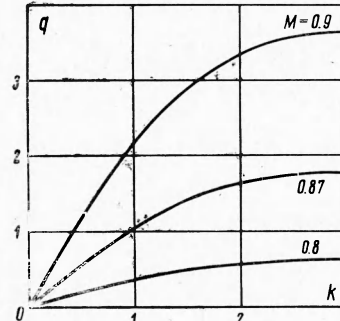
Джоулема диссипация  $q$  в объеме канала  $0 < y < 1$ ,  $(N\pi/k) < x < (N+1)\pi/k$  ( $N \gg 1$ ), соответствующем полудлине волны  $\pi/k$ , определяется выражением

$$q = \frac{\pi k}{2\delta^2 \sinh^2 k\delta} \left[ \frac{1+\delta^2}{4k\delta} \sinh(2k\delta) + \frac{1-\delta^2}{2} + (1+l^2) \frac{\sinh(2k)}{2k} - \right. \\ \left. - \frac{4l}{k} \cosh k \sinh[\tfrac{1}{2}k(1+\delta)] \sinh[\tfrac{1}{2}k(1-\delta)] - \frac{2}{k} \sinh k \cosh(k\delta) \right] \\ \left( q = \int_0^{1/\lambda} \int_0^{\lambda/\lambda} (j_x^{*2} + j_y^{*2}) dx dy, \quad l = \frac{\cosh k - \cosh(k\delta)}{\sinh k} \right) \quad (2.14)$$

Зависимости  $q(k)$  при различных числах Маха показаны на фиг. 2 и 3. С увеличением  $M$  джоулема потери возрастают. Наиболее значительное увеличение диссипации



Фиг. 2



Фиг. 3

$q$  наблюдается при  $M$ , близких к единице. Однако необходимо помнить, что точность линейного приближения при этом уменьшается. С уменьшением  $k$  джоулема диссипация стремится к нулю, так как уменьшается скорость измерения профиля канала.

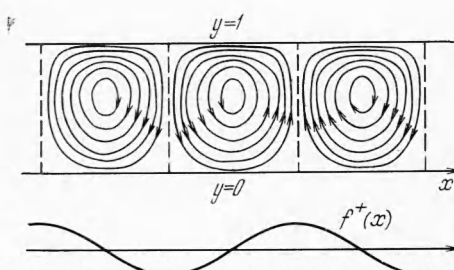
При возрастании  $k$  джоулема диссипация в пределах полуволны (и в любом фиксированном объеме канала) увеличивается. Как показывает формула (2.14),  $q \rightarrow \infty$  при  $k \rightarrow \infty$ . Однако линейная теория и полученная на ее основании формула (2.14) при больших  $k$ , вследствие неограниченного возрастания модуля производной  $f''(x)$ , оказываются неприменимы. Формальное же объяснение неограниченного роста  $q$  при  $k \rightarrow \infty$  состоит в том, что уменьшение длины волны  $1/lk$  сопровождается возрастанием кинетической энергии потока.

Линии электрического тока в канале при больших  $x$  показаны на фиг. 4. Наибольшая разность потенциалов между нижней и верхней стенками индуцируется в сечениях  $x_{1N} = (3/2\pi \times 2N\pi)/k$ , а наименьшая — при  $x_{2N} = (1/2\pi + 2N\pi)/k$

( $N$  — большое целое число). В сечениях  $x_{1N}$  поток газа характеризуется наибольшим, а в сечениях  $x_{2N}$  — наименьшим объемными расходами. Распределение электрического тока согласуется с отмеченными особенностями распределения потенциала.

3. Рассмотрим сверхзвуковое течение газа ( $M > 1$ ). Предположим, что  $f''(x) \equiv 0$ ,  $s = 0$ ,  $\beta = 0$ , а  $f'(x)$  определяется (2.7). С помощью преобразования Фурье находим изображения функций  $\Phi$  и  $\varphi_1$ , а затем их оригиналы

$$\Phi = -\frac{k}{2\pi i \delta} \int_{-\infty+i\tau^*}^{\infty+i\tau^*} \frac{\cos(\alpha\omega y) \exp(-i\alpha x) d\alpha}{(k^2 - \alpha^2) \sin(\alpha\omega)} \quad (\omega^2 = M^2 - 1, 0 < \tau_- < \tau^* < \tau_+) \\ \varphi_1 = \frac{k}{2\pi i \delta} \int_{-\infty+i\tau^*}^{\infty+i\tau^*} \frac{i [\cosh[\alpha(1-y)] - \cos(\alpha\omega) \sinh(\alpha y)] \exp(-i\alpha x) d\alpha}{(k^2 - \alpha^2) \sinh(\alpha\omega)} \quad (3.1)$$



Фиг. 4

С помощью теоремы о вычетах находим

$$\Phi_{x>0} = \frac{1}{k\omega^2} - \frac{\cos(k\omega y) \cos(kx)}{\omega \sin(k\omega)} + \frac{2k}{\omega^2} \sum_{n=1}^{\infty} (-1)^n \frac{\cos(r_n \omega y) \cos r_n x}{k^2 - r_n^2} \quad \left( r_n = \frac{n\pi}{\omega} \right) \quad (3.2)$$

$$\begin{aligned} \Phi_1 &= \frac{\sin(kx) [\operatorname{ch}[k(1-y)] - \cos(k\omega) \operatorname{ch}(ky)]}{\omega \operatorname{sh} k \sin(k\omega)} + \\ &+ \frac{2k}{\omega^2} \sum_{n=1}^{\infty} (-1)^{n+1} \frac{\sin(r_n x) [\operatorname{ch}[r_n(1-y)] + (-1)^{n+1} \operatorname{ch}(r_n y)]}{(k^2 - r_n^2) \operatorname{sh} r_n} + \\ &+ \frac{k}{\omega} \sum (-1)^n \frac{\exp(-q_n x) \zeta_n(y)}{(k^2 + q_n^2) \operatorname{sh}(q_n \omega)} \end{aligned} \quad (3.3)$$

$$\Phi_{x<0} = 0, \quad \Phi_1 = \frac{k}{\omega} \sum_{n=1}^{\infty} \frac{(-1)^n \exp(q_n x) \zeta_n(y)}{(k^2 + q_n^2) \operatorname{sh}(q_n \omega)} \quad (3.4)$$

$$(q_n = n\pi, \zeta_n(y) = \cos[q_n(1-y)] - \operatorname{ch}(q_n \omega) \cos(q_n y))$$

При получении формул (3.2) — (3.4) предполагалось, что  $k$  не совпадает ни с одним значением  $r_n$ .

Как показывают полученные формулы, распределение скоростей при больших  $x$  зависит не только от «локальной» геометрии канала (первые два члена в формуле (3.2)), но также и возмущений, которые распространяются по характеристикам вниз по потоку от сечения  $x = 0$ , многократно отражаясь от стенок канала (третий член в этой формуле).

Несмотря на то, что отсутствуют возмущения скорости при  $x < 0$  (возмущения скорости равны нулю левее характеристики  $y = 1 - x\omega^{-1}$ ), электрические токи в этой области отличны от нуля.

Согласно формуле (3.4), ток  $j_x$  отрицателен при  $y = 0$  и положителен при  $y = 1$ . Это согласуется с тем, что в области  $0 < x < 1/2\pi k^{-1}$  разность потенциалов между нижней и верхней стенками с ростом  $x$  монотонно возрастает.

Объемный расход газа  $G$  на основании (1.2) и (3.2), определяется формулой

$$G = \int_0^1 u dy = \begin{cases} 1 & \text{при } x < 0 \\ 1 + \epsilon \sin(kx)/\omega^2 & \text{при } x > 0 \end{cases}$$

Поступила 6 V 1968

#### ЛИТЕРАТУРА

1. В а т а ж и н А. Б. Джеуловы потери в канале переменного сечения, обусловленные сжимаемостью газа. В сб. Аннотации докладов. Третий Всесоюзный съезд по теоретической и прикладной механике, М., АН СССР, 1968.
2. В а т а ж и н А. Б., Р е г и р е р С. А. Электрические поля в каналах магнитогидродинамических устройств. В кн. Шерклиф Дж. «Теория электромагнитного измерения расхода», М., «Мир», 1965.
3. Р е г и р е р С. А. Магнитогидродинамические течения в каналах и трубах. М., ВИНИТИ, 1966.
4. Б е р с Л. Математические вопросы дозвуковой и околозвуковой газовой динамики. М., Изд-во иностр. лит., 1961.
5. Е м е ц Ю. П. О распределении тока на проницаемых электродах при наличии эффекта Холла в потоке электропроводной среды. ПМТФ, 1966, № 4.
6. Н о б л Б. Применение метода Винера-Хопфа для решения дифференциальных уравнений в частных производных. М., Изд-во иностр. лит., 1966.
7. Л а в р е н тьев М. А., Ш а б а т Б. В. Методы теории функций комплексного переменного. М., «Наука», 1965.